

УДК 523.9-464

## СПИРАЛЬНОСТЬ ПОЛЯ СКОРОСТЕЙ ПРИ ЯЧЕЕЧНОЙ КОНВЕКЦИИ ВО ВРАЩАЮЩЕМСЯ СЛОЕ

© 2012 г. А. В. Гетлинг\*

Научно-исследовательский институт ядерной физики им. Д.В. Скобельцына  
МГУ им. М.В. Ломоносова, Москва, Россия

Поступила в редакцию 21.10.2011 г.; принята в печать 22.11.2011 г.

Спиральность ячеечного конвективного течения в подогреваемом снизу горизонтальном слое сжимаемого вещества (газа), вращающемся вокруг вертикальной оси, исследуется путем конечно-разностного численного моделирования. Среда считается политропно стратифицированной. Вносятся такие начальные тепловые возмущения, которые создают систему шестиугольных конвективных ячеек бенаровского типа. Ячейки в дальнейшем деформируются вследствие действия силы Кориолиса, но их эволюция включает в себя этап, на котором течение близко к стационарному (в дальнейшем ячейки разрушаются). При заданных числах Рэлея и Прандтля усредненная по слою спиральность поля скоростей, соответствующая этому этапу, возрастает с уменьшением индекса политропы (т.е. с увеличением кривизны статического профиля энтропии) и имеет максимум при некотором значении скорости вращения слоя. Численное моделирование таких квазиупорядоченных конвективных течений должно внести большую определенность в оценки спиральности, которая играет важную роль в механизме МГД-динамо.

### 1. ВВЕДЕНИЕ

После обнаружения эффекта генерации крупномасштабных магнитных полей турбулентными течениями проводящей жидкости [1, 2] центр тяжести исследований возникновения и эволюции глобального магнитного поля Солнца быстро сместился в область электродинамики средних полей и основанной на ней теории турбулентного динамо. В результате изучение механизмов генерации, основанных на действии турбулентности, уже давно стало основным, доминирующим подходом в этой области физики Солнца [3].

Влияние турбулентного течения на магнитное поле чаще всего рассматривают в кинематическом приближении (не учитывая обратного воздействия). Допустим, что турбулентность однородна и слабоанизотропна. Тогда для вектора средней э.д.с.

$$\mathcal{E} \equiv \langle [\mathbf{u} \times \mathbf{b}] \rangle, \quad (1)$$

обусловленной взаимодействием пульсаций скорости  $\mathbf{u}$  и пульсаций магнитного поля<sup>1</sup>  $\mathbf{b}$ , квазилинейное приближение (сглаживание первого порядка, часто используемое в электродинамике средних

полей [4, 5]), в низших порядках разложения по малой величине, обратной пространственному масштабу изменений среднего поля  $\mathbf{B}$ , дает

$$\mathcal{E} = \alpha \mathbf{B} - \beta \text{rot} \mathbf{B}. \quad (2)$$

(Традиционное обозначение  $\alpha$ , принятое для коэффициента пропорциональности в первом члене этого выражения, породило ставшее общепринятым название явления возникновения средней э.д.с. —  $\alpha$ -эффект.)

С учетом (2) уравнение индукции среднего поля для турбулентной среды имеет вид

$$\frac{\partial \mathbf{B}}{\partial t} = \text{rot} \{ [\mathbf{U} \times \mathbf{B}] + \alpha \mathbf{B} - \text{rot}(\nu_m + \beta) \mathbf{B} \}, \quad (3)$$

где векторы магнитной индукции  $\mathbf{B}$  и скорости  $\mathbf{U}$  получены усреднением по ансамблю турбулентных пульсаций,  $\nu_m$  — обычная магнитная вязкость, определяемая омической диссипацией, а  $\beta$  — турбулентная магнитная вязкость (которая может превышать омическую на порядки).

Важная роль в создании  $\alpha$ -эффекта принадлежит спиральности поля скоростей  $h = \mathbf{u} \cdot \text{rot} \mathbf{u}$ , в конечном счете — ее среднему значению  $\langle h \rangle$  (имеется в виду усреднение по ансамблю реализаций случайного поля и, вообще говоря, по исследуемому объему). Введя спектральную функцию спиральности  $F(k, \omega)$ , такую что

$$\langle h \rangle = \iint F(k, \omega) dk d\omega \quad (4)$$

\*E-mail: A.Getling@mail.ru

<sup>1</sup>Как это часто принимают в работах по магнитной гидродинамике, будем считать допустимым употребление термина (магнитное) поле в значении магнитная индукция — в нашем случае различие между этими понятиями несущественно.

(здесь и далее  $\mathbf{k}$  и  $\omega$  — волновой вектор и частота фурье-гармоники каждой рассматриваемой физической величины), можно показать, что от нее зависит и величина  $\alpha$ . Если  $F(k, \omega) = 0$  (условие, не необходимое, но достаточное для того, чтобы было  $\langle h \rangle = 0$ ), то  $\alpha = 0$ . Связь между средней спиральностью поля скоростей и  $\alpha$ -эффектом, таким образом, видна довольно отчетливо. Нередко утверждают (или молчаливо предполагают), что  $\alpha$ -эффект возможен только при  $\langle h \rangle \neq 0$ . Как показали Гилберт и др. [6], ненулевая средняя спиральность не необходима для возникновения  $\alpha$ -эффекта, но она способствует его возникновению.

Физически условие  $\langle h \rangle \neq 0$  означает, что потоки, закрученные вправо и влево (такая закрученность может возникать благодаря действию силы Кориолиса), возникают не в одинаковом количестве или различны по интенсивности. Иначе говоря, свойства турбулентного поля  $\mathbf{u}$  неинвариантны относительно преобразования четности — перехода от правой системы координат  $(x, y, z)$  к левой  $(-x, -y, -z)$ , поэтому вероятности того или иного значения вектора скорости для пульсационных полей  $\mathbf{u}$  и  $-\mathbf{u}$  в данной точке в данный момент неодинаковы (так называемая отражательная неинвариантность поля).

Идею принципиальной значимости отражательной неинвариантности турбулентного поля для возникновения  $\alpha$ -эффекта обосновывают следующим образом. Поскольку  $\text{rot } \mathbf{H}$  с точностью до числового множителя (который по-разному выглядит в разных системах единиц) равен истинному вектору плотности тока  $\mathbf{j}$ , то  $\mathbf{H}$  и магнитная индукция  $\mathbf{B}$  являются псевдовекторами. Согласно (1),  $\mathcal{E}$  — истинный вектор, а из (2) видно, что коэффициент  $\alpha$  должен быть псевдоскаляром, поскольку он стоит при псевдовекторе в выражении для истинного вектора  $\mathcal{E}$ . Допустим, поле  $\mathbf{u}$  обладает отражательной инвариантностью. Тогда  $\alpha$  не должно измениться в результате преобразования четности, так как не изменяется ансамбль реализаций поля. С другой стороны,  $\alpha$  — псевдоскаляр, и его знак должен измениться. Следовательно, для отражательно-инвариантной турбулентности  $\alpha = 0$ .

Псевдоскаляром является и спиральность, поскольку она получается скалярным умножением истинного (полярного) вектора  $\mathbf{u}$  на аксиальный вектор (псевдовектор)  $\text{rot } \mathbf{u}$ . Таким образом, ненулевая средняя спиральность гарантирует, что турбулентность не обладает отражательной инвариантностью, и это делает возможным  $\alpha$ -эффект.

Величина  $\alpha$ -эффекта сильно зависит от свойств турбулентности, и, чтобы оценить его в конкретной ситуации, приходится делать предположения, касающиеся этих свойств. Для условий конвективной зоны Солнца оценки коэффициента  $\alpha$  варьируют от

нескольких см/с до  $10^4$  см/с, что конечно же означает очень большую степень неопределенности при переносе результатов расчетов моделей динамо на реальные солнечные условия.

Надо сказать, что представление поля скоростей как ансамбля хаотических пульсаций в случае конвективной зоны Солнца содержит в себе определенную натяжку. Конвективные течения солнечной плазмы обладают заметной упорядоченностью. И видно это не только из факта существования четко обозначенных ячеек супергрануляции и мезогрануляции (грануляция — предмет особого разговора [7, 8]), а также еще не слишком детально изученных гигантских ячеек [9], но и из наличия признаков более сложной упорядоченности в структурной организации течений [8, 10].

Эта работа имеет своей целью показать, что описание солнечного динамо на языке электродинамики средних полей может опираться на оценки средней спиральности не столь произвольные, как в случае рассмотрения хаотических полей. А именно, численное моделирование ячеечных течений, в той или иной мере схожих с реально наблюдаемыми, позволяет непосредственно рассчитывать среднюю спиральность поля скоростей и, что особенно важно, исследовать ее зависимость от параметров стратификации атмосферы (разумеется, усреднение спиральности в этом случае должно производиться по объему, в котором происходит течение, а не по ансамблю реализаций — поле скоростей при такой постановке задачи случайным не является).

Учет спиральной составляющей поля скоростей в расчетах конвективного механизма усиления и структурирования магнитного поля [11] должен стать шагом на пути к выявлению связи между глобальными и локальными солнечными полями.

В представленных здесь численных расчетах выявляется, в частности, то обстоятельство, что средняя спиральность ячеечного течения как функция угловой скорости вращения среды в целом меняется не монотонно, а имеет максимум. Этот факт находит естественное объяснение, если учесть, что вращение среды стремится подавить конвекцию, причем предельный случай больших скоростей вращения соответствует условиям теоремы Тейлора—Прудмана, когда поле скоростей вещества двумерно — постоянно вдоль направления вектора угловой скорости вращения среды.

## 2. ПОСТАНОВКА ЗАДАЧИ И МЕТОД ИССЛЕДОВАНИЯ

Как уже было сказано, основной причиной возникновения ненулевой спиральности  $h$  является сила Кориолиса, обусловленная вращением жидкости в целом. Однако если среда более или менее

однородна (скажем, в пределах справедливости приближения Буссинеска), то значения локальной спиральности конвективного поля, которая имеет разные знаки в разных частях слоя, будут при усреднении давать величину, близкую к нулю. Это легко увидеть на примере поля скоростей, получаемого в линейной теории [12, гл. 3] для конвекции Рэлея—Бенара во вращающемся слое, к которому применимо приближение Буссинеска. На рис. 1, построенном для шестиугольной ячейки, видно, что при направленном вверх векторе  $\Omega$  угловой скорости вращения слоя траектория жидкой частицы закручена в правую спираль в нижней части слоя и в левую в верхней его части. Вследствие однородности слоя картина симметрична относительно горизонтальной плоскости, проходящей на середине высоты слоя, поэтому усреднение спиральности по слою дает  $\langle h \rangle = 0$ .

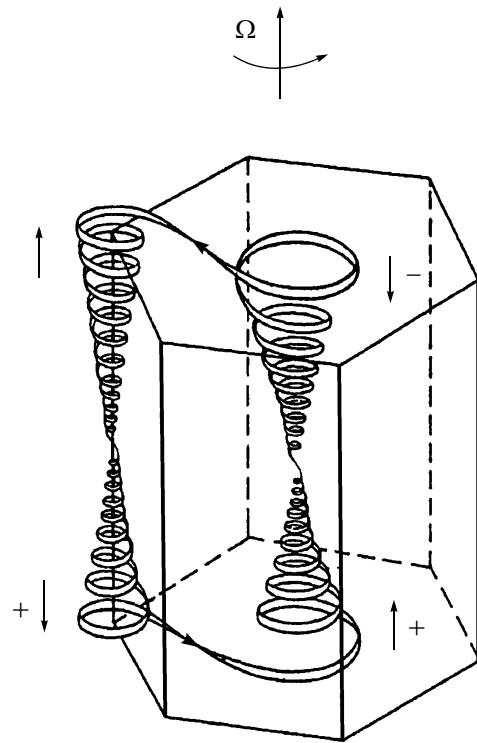
Средняя спиральность будет иметь конечную величину, если между верхней и нижней половиной слоя имеется заметная асимметрия. Поэтому естественно ожидать, что, в отличие от буссинескова случая, средняя спиральность не будет нулевой при конвекции сжимаемого газа. Именно ее мы здесь и рассмотрим.

Будем считать, что горизонтальный слой сжимаемого вещества  $-0.5 \leq z/L \leq 0.5$  (где  $L$  — толщина слоя, а ось  $z$  направлена вверх), вращающийся вокруг оси  $z$ , имеет политропную стратификацию:  $p = K\rho^\Gamma$ ,  $m = 1/(\Gamma - 1)$  ( $p$  и  $\rho$  — давление и плотность статической атмосферы,  $\Gamma$  и  $m$  — соответственно показатель и индекс политропы). Тогда, оперируя термодинамическими величинами, рассчитанными на единицу массы вещества, получим следующие невозмущенные (статические) распределения энтропии  $s$  и температуры  $T$ :

$$s = \frac{c_p}{\gamma} [1 - (\gamma - 1)m] \ln \frac{z - z_\infty}{z_{\text{ref}} - z_\infty}, \quad (5)$$

$$T = \frac{c_s^2}{c_p(\gamma - 1)} = \frac{1}{c_p(m + 1)} \frac{\gamma}{\gamma - 1} g_z (z - z_\infty) \quad (6)$$

(см., например, руководство к используемому здесь программному пакету Pencil Code [13] — с ним мы согласуем наши обозначения); здесь  $\gamma = c_p/c_v$  — отношение удельных теплоемкостей (показатель адиабаты),  $g_z = \text{const} < 0$  — ускорение свободного падения,  $c_s = \gamma p/\rho$  — адиабатическая скорость звука,  $z_\infty$  — значение координаты  $z$ , при котором обращается в ноль гравитационный потенциал, выбранный в виде  $\Phi = (z - z_\infty)(-g_z)$ , а  $z_{\text{ref}}$  — значение  $z$ , при котором плотность и скорость звука принимают некоторые характерные значения  $\rho_0$  и  $c_{s0}$ , выбранные в качестве отсчетных (мы положили,



**Рис. 1.** Характер течения в шестиугольной конвективной ячейке согласно линейной теории [12]. Длинная вертикальная стрелка вверх — вектор  $\Omega$  угловой скорости жидкости в целом. Более короткие стрелки показывают направления вектора завихренности в разных частях траектории жидкой частицы; рядом указаны знаки локальной спиральности (+ или –). Построено на основе рис. 25b из книги [12].

что на этой высоте  $s \equiv s_0 = 0$ ). Величины  $z_\infty$  и  $z_{\text{ref}}$  связаны соотношением

$$z_\infty = z_{\text{ref}} + (m + 1) \frac{c_{s0}^2}{\gamma(-g_z)}. \quad (7)$$

Градиент температуры при отсутствии конвективных движений равен

$$\beta = \frac{dT}{dz} = \frac{c_s^2}{c_p(\gamma - 1)} = \frac{1}{c_p(m + 1)} \frac{\gamma}{\gamma - 1} g_z < 0. \quad (8)$$

Как известно, в сжимаемой среде конвективная неустойчивость определяется наличием направленного вниз градиента энтропии. Поэтому в определении числа Рэлея должен фигурировать перепад (по слою) не температур, а энтропии [14]:

$$\text{Ra} = \frac{(-g_z)L^3 \Delta s}{\nu \chi c_p} \quad (9)$$

( $\nu$  — кинематическая вязкость среды,  $\chi$  — ее температуропроводность,  $\Delta s$  — разность статических

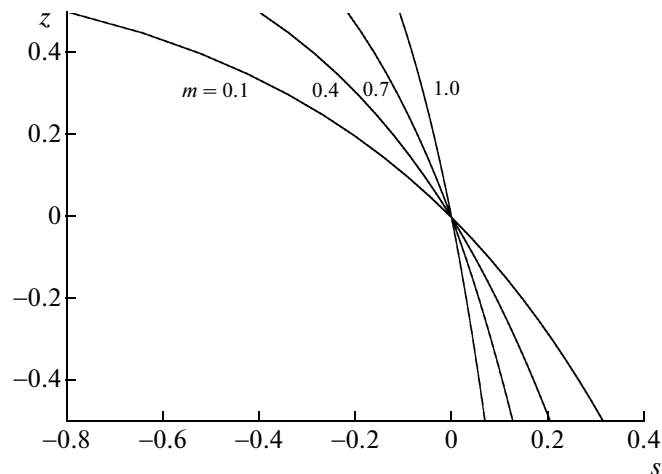


Рис. 2. Статические профили  $s(z)$  при различных  $m$ .

значений энтропии на нижней и верхней границе). Для политропной стратификации оно оказывается равным

$$\text{Ra} = \frac{(-g_z)L^3}{\nu\chi} \times \quad (10)$$

$$\times \frac{1}{\gamma} [1 - (\gamma - 1)m] \ln \frac{-0.5 - z_\infty}{0.5 - z_\infty}.$$

Будем исходить из системы уравнений Навье–Стокса для сжимаемой среды, пренебрегая объемной вязкостью и вязкой диссипацией механической энергии (используемая форма записи уравнений имеется в [13]).

В качестве граничных условий примем: (а) условие прилипания на верхней и нижней поверхностях слоя (т.е. будем считать эти границы жесткими)

$$\mathbf{v} \left( x, y, -\frac{1}{2}L \right) = \mathbf{v} \left( x, y, \frac{1}{2}L \right) = 0, \quad (11)$$

(б) условие изотермичности этих поверхностей

$$T \left( x, y, -\frac{1}{2}L \right) = T_0 = \text{const}, \quad (12)$$

$$T \left( x, y, \frac{1}{2}L \right) = T_1 = \text{const}$$

и (в) условия периодичности каждой физической переменной  $f(x, y, z)$  по горизонтальным направлениям

$$f \left( -\frac{1}{2}L_x, y, z \right) = f \left( \frac{1}{2}L_x, y, z \right), \quad (13)$$

$$f \left( x, -\frac{1}{2}L_y, z \right) = f \left( x, \frac{1}{2}L_y, z \right)$$

(где  $L_x$  и  $L_y$  — пространственные периоды по координатам  $x$  и  $y$ ).

В начальный момент считаем среду неподвижной, а поле энтропии (или температуры) слабо-возмущенным. Зададим такую форму начального возмущения, чтобы на начальном этапе развития конвекции возникла система правильных шестиугольных ячеек с восходящими течениями в их центральных частях и нисходящими на их периферии. Волновое число этого возмущения выбираем равным  $k = 2.22$ , что соответствует критическому волновому числу  $k_c$  классической задачи Рэлея–Бенара для случая свободных границ (заметим, что в наших расчетах границы считаются жесткими, и соответственно  $k_c = 3.12$ ).

При расчетах будем пользоваться безразмерным представлением переменных, выбирая  $L$ ,  $-g_z$  и  $\sqrt{L/(-g_z)}$  в качестве единиц измерения длины, ускорения и времени соответственно. Единицу массы определяем, полагая среднюю плотность равной  $\langle \rho \rangle = 1$ . Кроме того, для отсчетной скорости звука полагаем  $c_{s0} = 1$ . В программном пакете автоматически принимается, что  $c_p = 1$ . Таким образом, единицы измерения энтропии и температуры оказываются определенными посредством (5) и (6). (Заметим, что в формулах, описывающих стратификацию, скорость звука фигурирует лишь как термодинамическая величина и поэтому не обязательно должна измеряться в тех же единицах, что и скорость течения; в решаемых же уравнениях связанные со скоростью звука энтропия и температура, конечно, должны быть согласованы по выбору единиц с остальными переменными, но их абсолютные значения нас интересовать не будут.)

Представленные здесь расчеты выполнялись в основном для числа Рэлея  $\text{Ra} = 20050.7$  и числа Прандтля  $\text{Pr} = 1$ ; индекс политропы варьировался в пределах  $m = 0.1-1$ , и для каждого  $m$  значения  $\nu$  и  $\chi$  подбирались так, чтобы получить задан-

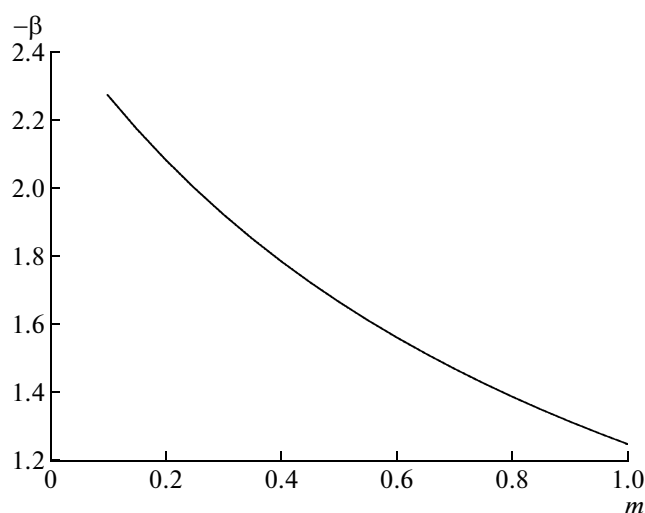


Рис. 3. Зависимость  $\beta(m)$  для  $Ra = 20050.6$ .

ные  $Ra$  и  $Pr$ . Статические профили энтропии  $s(z)$  для различных  $m$  представлены на рис. 2. Для заданного  $Ra$  зависимость статического градиента температуры  $\beta$  от  $m$  имеет вид, показанный на рис. 3.

Для моделирования конвективных течений мы применяем высокоэффективный и удобный в использовании программный пакет Pencil Code, разработанный Бранденбургом и Доблером [13]. Он позволяет рассчитывать течения сжимаемой среды (допуская, вообще говоря, присутствие магнитного поля) с использованием конечных разностей шестого порядка по пространственным координатам и третьего порядка по времени. Пакет легко настраивается на различное число используемых процессорных ядер. Вычисления, относящиеся к рассматриваемой здесь задаче, проводились параллельно на восьми ядрах.

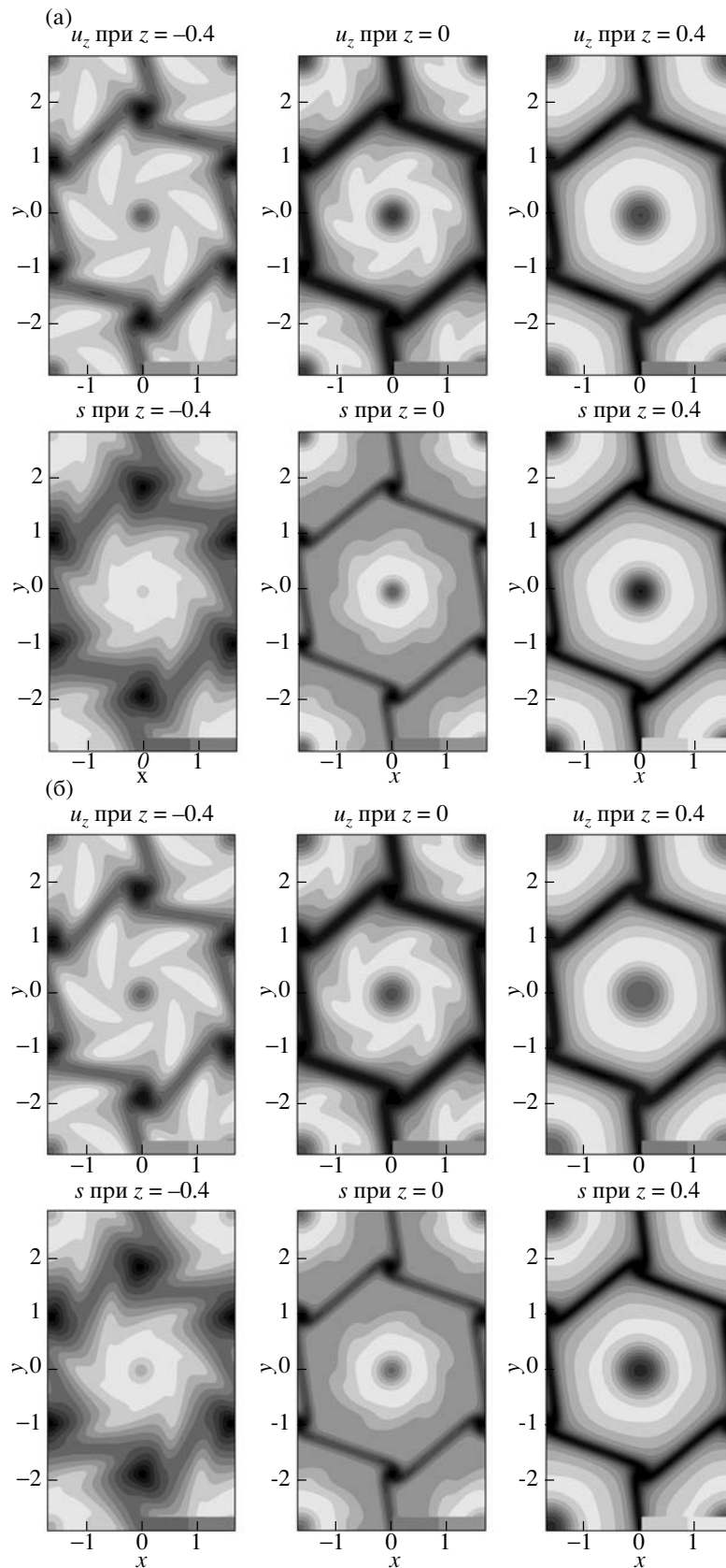
### 3. РЕЗУЛЬТАТЫ И ОБСУЖДЕНИЕ

Введенные нами условия периодичности физических полей по горизонтали оказывают на рассчитываемое течение значительное стабилизирующее воздействие [15, гл. 6]. Поэтому в типичном расчетном сценарии эволюции из слабых начальных тепловых возмущений развиваются шестиугольные ячейки, которые затем сохраняются в течение более или менее длительного периода (рис. 4); в этом квазистационарном режиме амплитуда скорости — ее максимальное значение  $u_{\max}$  — и средняя спиральность меняются медленно (рис. 5). Правда, на раннем этапе своего развития поле скоростей в ячейках довольно быстро перестраивается к “двухвихревой” структуре [16] — в центральной части ячейки, как и по ее краям, развивается нисходящий поток, окруженный кольцевой областью

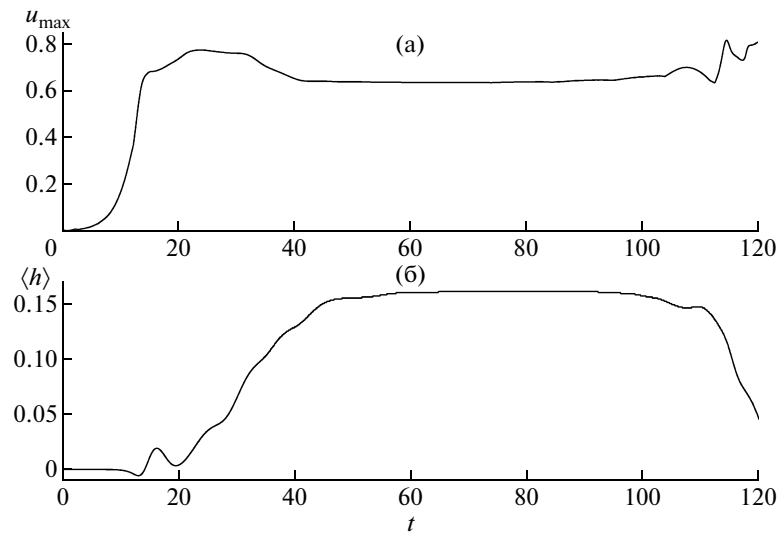
восходящего потока; при этом в меридиональном сечении ячейки течение образует два вихря (что и дало основания назвать такую структуру двухвихревой). В период квазистационарности ячейки имеют именно такую структуру. Как видно из многочисленных ситуаций, ранее исследованных для случая невращающегося слоя [16], это — эффект неоптимальности навязанного начальными условиями горизонтального масштаба течения: размеры ячейки по  $x$  и  $y$  заметно превышают оптимальный масштаб, и течение перестраивается к меньшему масштабу (для двумерной конвекции в невращающемся слое вопрос масштабного оптимума подробно обсуждался в вышеупомянутой книге [15, гл. 6]). Характерный вид ячеек указывает на закрутку течений, качественно схожую с той, что показана на рис. 1, но асимметричную по отношению к средней горизонтальной плоскости слоя. В конечном счете ячеечная структура разрушается, переходя в валиковую или в более сложную, неупорядоченную.

Хотя основной объем вычислений был выполнен для области с горизонтальными размерами, равными основному периоду начальных возмущений по  $x$  и  $y$ , делались также контрольные расчеты для областей, вдвое и втрое больших по обеим координатам, при сохранении величины пространственных шагов сетки. Оказалось, что в исследованной области параметров удвоение и утроение горизонтальных размеров области мало влияет не только на устойчивость течения, но также на значения и временное изменение максимальной скорости и средней спиральности поля скоростей.

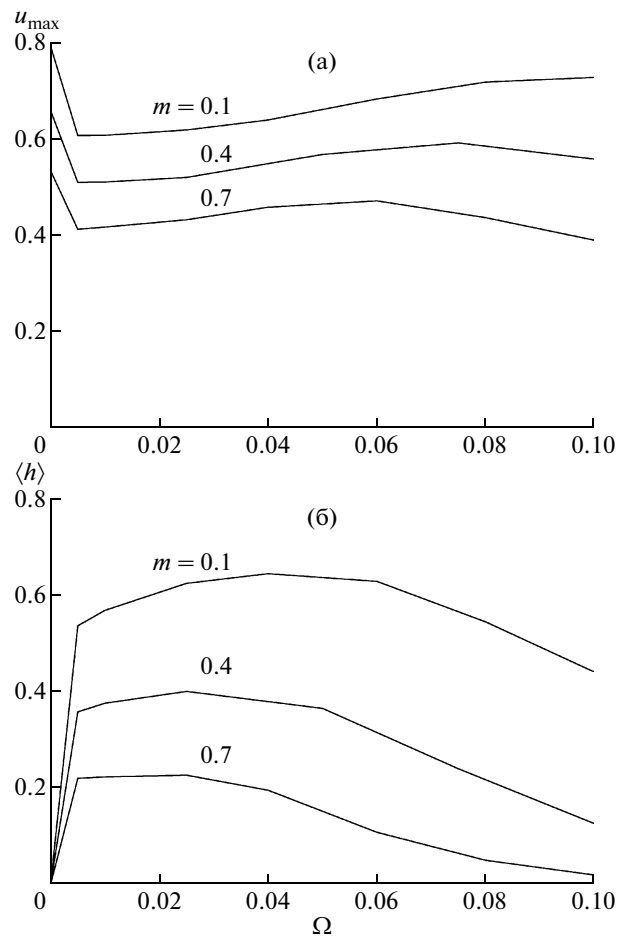
Сравним зависимости амплитуды скорости и средней спиральности течения на этапе существования квазистационарных ячеек от стратификации и скорости вращения слоя (рис. 6). С уменьшением  $m$ , по мере увеличения кривизны статического



**Рис. 4.** Распределения вертикальной компоненты скорости (верхние ряды диаграмм) и возмущения энтропии (нижние ряды диаграмм) по трем горизонтальным сечениям конвективной ячейки на этапе квазистационарного режима при (а)  $t = 40$  и (б)  $t = 80$  в расчете для  $\Omega = 0.04$ ,  $m = 0.1$ . Нулевые значения величин соответствуют переходу между оттенками серого тона, показанными в левой и правой половинах узкой горизонтальной полоски в правом нижнем углу каждой диаграммы.



**Рис. 5.** Временные изменения (а) максимальной скорости в ячейке  $u_{\max}$  и (б) средней спиральности  $\langle h \rangle$  в расчете для  $\Omega = 0.04$ ,  $m = 0.1$ .



**Рис. 6.** Зависимость (а) максимальной скорости в ячейке  $u_{\max}$  и (б) средней спиральности  $\langle h \rangle$ , определенных для режима установившейся конвекции, от угловой скорости  $\Omega$ .

профиля энтропии (рис. 2), т.е. роста асимметрии между верхней и нижней частью слоя, все менее симметричным становится и высотное распределение  $h(z)$  для данных  $x$  и  $y$ . Соответственно больших значений достигает и средняя по слою спиральность  $\langle h \rangle$ , а ее зависимость от  $\Omega$  имеет ясно выраженный максимум. Это связано с тем, что рост  $\Omega$  соответствует приближению к условиям теоремы Тейлора—Праудмана и приводит в конечном счете к подавлению конвекции. Однако, как видно из рис. 6, подавление спиральности опережает подавление конвекции.

Заметим, что Кичатинов [17], исследуя перенос момента импульса конвективной турбулентностью во вращающейся сжимаемой атмосфере, не получил в явном виде эффекта убывания средней спиральности течения со скоростью вращения при больших  $\Omega$ . Согласно найденной им формуле, средняя спиральность  $\langle h \rangle$  при  $\Omega \rightarrow \infty$  стремится к некоторому постоянному значению. Но поскольку эта формула в качестве множителя содержит радикальный градиент среднеквадратичной турбулентной скорости, а быстрое вращение подавляет конвекцию и соответственно уменьшает эту скорость, убывание  $\langle h \rangle$  при больших  $\Omega$  должно, тем не менее, присутствовать.

Таким образом, при заданной стратификации существует некоторая скорость вращения, оптимальная для генерации спиральности течения. В качестве примера сделаем оценку для условий, лежащих в ожидаемом для Солнца диапазоне значений величин. Если принять  $\Omega_{z\odot} \sim 2 \times 10^{-6}$  рад/с и ускорение силы тяжести  $g_{\odot} \sim 260$  м/с, то для характерной толщины слоя  $L \sim 60$  Мм получим значение используемой в наших расчетах единицы времени  $t_0 = \sqrt{L/g_{\odot}} \sim 480$  с и соответственно безразмерную угловую скорость  $\Omega \sim 10^{-3}$ . Современные модели внутреннего строения солнечной конвективной зоны (см., например, [18]) дают для интервала глубин  $0.1-0.2R_{\odot}$  условное (поскольку политропная стратификация — случай идеализированный) значение  $m \sim 1$ . Таким образом, точка на рис. 6б, соответствующая указанной скорости, вероятно, может лежать недалеко от максимума спиральности при  $m = 1$ . Однако для непосредственного определения величины  $\alpha$ -эффекта в этих условиях требуется более полная информация о его связи со спиральностью, чем та, что имеется на сей день.

В целом же такие “детерминистские” исследования спиральности квазиупорядоченных конвективных течений должны открыть возможности для значительного уменьшения доли произвола в оценках, используемых теорией динамо средних полей.

Я весьма благодарен Л.Л. Кичатинову за обсуждение ряда вопросов и В. Доблеру (W. Dobler) за обстоятельные консультации по применению пакета Pencil Code.

#### СПИСОК ЛИТЕРАТУРЫ

1. M. Steenbeck, F. Krause, and K.-H. Rädler, *Zs. Naturforsch.* **21a**, 369 (1966).
2. M. Steenbeck and F. Krause, *Zs. Naturforsch.* **21a**, 1285 (1966).
3. P. Charbonneau, *Living Rev. Solar Phys.* **7**, article 3 (2010); (<http://www.livingreviews.org/lrsp-2010-3>).
4. Ф. Краузе, К.-Х. Рэдлер, *Магнитная гидродинамика средних полей и теория динамо* (М.: Мир, 1984).
5. Г. Моффат, *Возбуждение магнитного поля в проводящей среде* (М.: Мир, 1980).
6. A. D. Gilbert, U. Frisch, and A. Pouquet, *Geophys. and Astrophys. Fluid Dyn.* **42**, 151 (1988).
7. А. В. Гетлинг, *Астрон. журн.* **77**, 64 (2000).
8. A. V. Getling, *Solar Phys.* **239**, 93 (2006).
9. J. G. Beck, T. L. Duvall Jr., and P. H. Scherrer, *Nature* **394**, 653 (1998).
10. A. V. Getling and A. A. Buchnev, *Solar Phys.* **248**, 233 (2008).
11. А. В. Гетлинг, *Астрон. журн.* **78**, 661 (2001).
12. S. Chandrasekhar, *Hydrodynamic and Hydromagnetic Stability* (Oxford: Oxford Univ. Press, 1961; New York: Dover Publications, Inc., 1981).
13. A. Brandenburg, W. Dobler, <http://www.nordita.org/software/pencil-code/>.
14. A. Brandenburg, R. L. Jennings, Å. Nordlund, *et al.*, *J. Fluid Mech.* **306**, 325 (1996).
15. А. В. Гетлинг, *Конвекция Рэлея—Бенара. Структуры и динамика* (М.: УРСС, 1999).
16. A. V. Getling and O. Brausch, *Phys. Rev. E* **67**, 046313 (2003).
17. L. L. Kichatinov, *Geophys. and Astrophys. Fluid Dyn.* **38**, 273 (1987).
18. M. Stix, *The Sun: An Introduction*, 2nd ed. (Berlin: Springer, 2002).